



Síntese, Caracterização E Ensaios Biológicos De Um Complexo Metálicos De Cobre(II) Contendo Alizarina E Bipiridina Como Possível Agente Antitumoral

Eloah B. C. Oliveira 1* (G), Willian X. C. Oliveira 2, (PQ), Ívina P. Souza 1 (PQ)

CEFET-MG, Departamento de Química, Belo Horizonte, Minas Gerais, Brasil, 30510-000.
UFMG, ICEx, Departamento de Química, Belo Horizonte, Minas Gerais, Brasil, 31270-901

*e-mail: eloahbie@yahoo.com, ivinapauladesouza@cefetmg.br

RESUMO

RESUMO

Complexos metálicos vêm sendo amplamente estudados na Química Bioinorgânica devido ao seu potencial terapêutico, especialmente contra o câncer, principal problema de saúde pública mundial. Neste trabalho, foi sintetizado um complexo inédito de cobre(II), 1 – ([Cu(C₁₀H₈N₂)(C₁₄H₇O₄)(ClO₄)].1,5 H₂O) com alizarina e bipiridina, rendimento de 79,36%. Monocristais foram obtidos a partir da recristalização de 1. O complexo foi caracterizado por CHN, AA, IV, UV-Vis, TGA, DRX, condutimetria e sua interação com DNA foi estudada. Os resultados indicam forte afinidade biológica, justificando testes futuros de citotoxicidade em células tumorais e não tumorais. *Palavras-chave: Complexos Metálicos, Antraquinonas, Antitumorais, Bioinorgânica, Íons de Cobre.*

Introdução

O câncer representa um desafio global, sendo uma das principais causas de mortes prematuras. Nesse cenário, a Química Bioinorgânica tem se mostrado fundamental na busca por tratamentos mais eficazes e seletivos, especialmente por meio do estudo de complexos metálicos com potencial atividade antitumoral (1). Embora tenha sido revolucionária no tratamento de diversos tipos de câncer, a cisplatina apresenta efeitos colaterais severos e pode induzir resistência celular, limitando sua aplicação clínica (2.3).

Por esse motivo, o cobre surge como uma alternativa promissora. Desde a Antiguidade, é conhecido por suas propriedades medicinais, além de apresentar biocompatibilidade e seletividade preferencial por células tumorais (4-6). Além disso, as antraquinonas, já reconhecidas por sua ação antitumoral (7), quando coordenadas a íons cobre(II), podem ter sua atividade potencializada. Assim, a combinação entre cobre(II), antraquinonas e bipiridina justifica o desenvolvimento de novos complexos que busquem maior eficácia, menor toxicidade e a superação de mecanismos de resistência observados em terapias convencionais, como a utilização da cisplatina (5,6).

Dessa forma, o objetivo geral da pesquisa foi sintetizar um complexo ternário de cobre(II) com antraquinona e um ligante N,N-doador, bem como caracterizá-lo por diversas técnicas físico-químicas e avaliar sua atividade biológica. Espera-se, com isso, que esse complexo apresente atividade antitumoral efícaz e seletiva, com baixa toxicidade às células não tumorais.

Experimental

Síntese do Complexo.

O complexo **1** ([Cu(C₁₀H₈N₂)(C₁₄H₇O₄)(ClO₄)].1,5 H₂O) foi obtido pela adição lenta de uma solução de Cu(ClO₄)₂·6H₂O (0,6 mmol) em etanol (5,0 mL) a uma solução de 2,2-bipiridina (bpy, 0,4 mmol) em etanol (5,0 mL), sob agitação e refluxo por 2 h. Seguido da

adição de alizarina (H_2L1 , 0,4 mmol) dissolvida em CHCl₃ (12,0 mL), e refluxo por mais 4 h. Após refrigeração por alguns dias, o sólido roxo obtido foi filtrado, lavado com EtOH, CHCl₃ e éter, seco no dessecador e armazenado. Rendimento: 79,36%.

Caracterização do Complexo.

O complexo foi caracterizado por análise elementar (CHN), espectroscopia de absorção atômica (AA), condutimetria em DMF, na concentração 10⁻³ mol L⁻¹, espectroscopias na região do infravermelho (IV) e ultravioleta e visível (UV-Vis), análise termogravimétrica (TGA) e difração de raios X (DRX) em pó e em monocristais. Também foram realizados testes de solubilidade e cristalização. Pretende-se ainda fazer a espectrometria de massas. As análises foram conduzidas em laboratórios do CEFET-MG e da UFMG.

Ensaios Biológicos.

A interação de 1 com DNA de timo de bezerro (ct-DNA) foi avaliada por espectroscopia UV-Vis, por meio de titulação com ct-DNA em tampão HEPES. A constante de afinidade foi determinada a partir da variação espectral observada. Ainda pretende-se realizar testes de citotoxicidade do complexo.

Resultados e Discussão

A partir da análise dos espectros na região do IV (**Figura 1**) pode-se confirmar a coordenação dos ligantes ao íon cobre devido ao deslocamento das bandas para menor número de onda. Cu(ClO₄)₂·6H₂O exibe uma banda estreita e intensa em 1057 cm⁻¹, atribuída ao íon ClO₄⁻, de simetria Td. No complexo ela se desdobra (1089-1062 cm⁻¹), indicando a redução da simetria e, portanto, participação do íon na esfera de coordenação do centro metálico. No monocristal, ela não aparece, indicando ausência do perclorato coordenado. A bpy livre exibe bandas em 1451–1415 cm⁻¹ (C=N), que são ligeiramente deslocadas para 1449–1402 cm⁻¹ em **1** e para 1446 – 1423 cm⁻¹ no monocristal. H₂L1 livre apresenta bandas em



em 1661 e 1632 cm⁻¹ (C=O), que se deslocam para 1629–1612 cm⁻¹ no complexo e para 1630–1611 cm⁻¹ no monocristal, sugerindo coordenação via oxigênio das carbonilas.

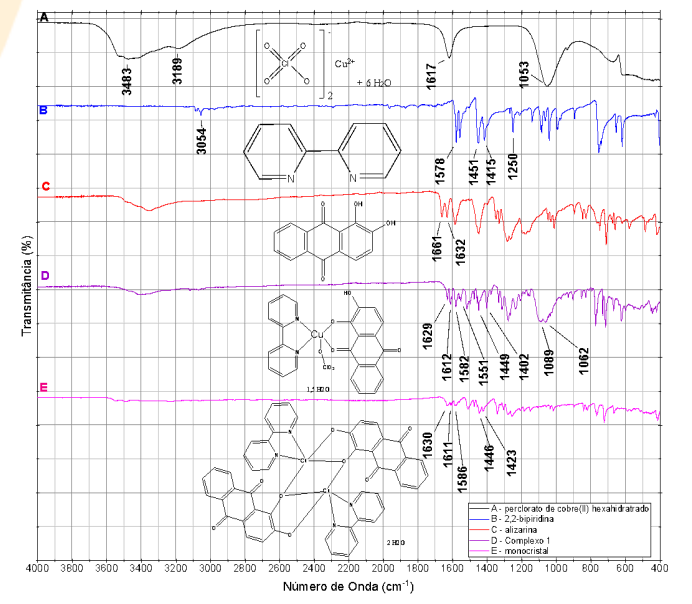


Figura 1. Espectros na região do IV dos ligantes, complexo e monocristal em pastilha de KBr.

A análise de CHN (**Tabela 1**) de **1** mostra boa concordância entre os valores experimentais e calculados, corroborando com a proposta de estrutura. A condutividade de 78 μS·cm⁻¹ sugere um eletrólito 1:1, compatível com a presença de perclorato como contra-íon (8).

Tabela 1. Dados obtidos para as análises de CHN, AA e condutimetria (Λ) de complexo ([Cu(bpy)(HL1)(ClO₄)].1,5 H₂O)

-	• • • • • • • • • • • • • • • • • • • •	a (11) a c c c	11910110 (04(5)) (1121) (0104)		10290 2220 1	
	Complexo	%C Exp. ** (Calc.*)	%H Exp. ** (Calc.*)	%N Exp. ** (Calc.*)	%Cu Exp. ** (Calc.*)	Λ (μs cm ⁻¹)
	1 585,40 g mol ⁻¹	49,20 (49,24)	2,28 (3,10)	4,71 (4,79)	11,01 (10,84)	78

^{*}Calculado ** Experimental

O espectro UV-Vis (**Figura 2**) mostra bandas deslocadas em relação aos ligantes livres, indicando formação de espécies coordenadas. O aumento da absorvância e o deslocamento batocrômico confirmam interações metal-ligantes.

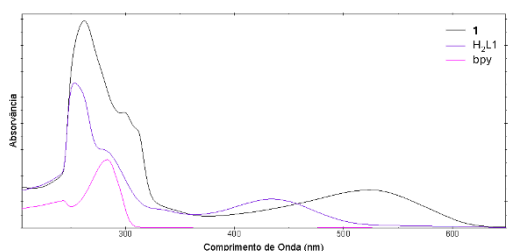


Figura 2. Espectro na região do UV-vis de 1, H_2L1 e bpy.

A análise termogravimétrica indicou a eliminação de 1,5 H₂O de hidratação, por mol de 1 abaixo de 150 °C, seguida da decomposição dos ligantes e formação do resíduo metálico. Esse resultado, juntamente com as análises de IV, CHN e condutimetria, corroboram com a estrutura proposta. Além disso, os resultados de DRX do monocristal (**Figura 3**) e do pó estão em análise para verificar a presença ou não das duas estruturas.



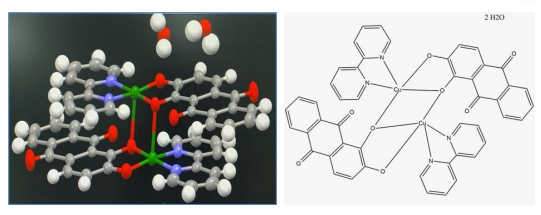


Figura 3. Estrutura do monocristal obtida por DRX

A interação entre **1 e** DNA foi analisada por UV-vis e o espectro registrado (**Figura 4**). A diminuição da absorvância com o acréscimo de soluções de DNA indica interação **1**:[DNA]. O valor da constante de ligação ($K = 4,52 \times 10^5 \,\mathrm{M}^{-1}$) sugere forte afinidade, compatível com intercalação.

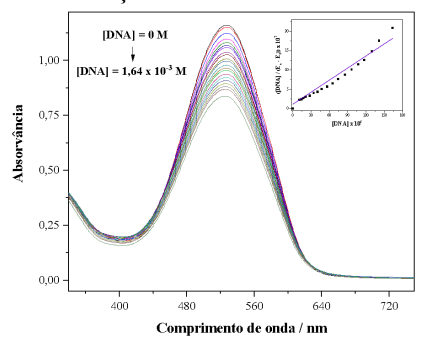


Figura 4. Gráfico interação 1:DNA

Conclusões

O complexo foi caracterizado por diferentes técnicas que corroboram para a estrutura proposta – [Cu(bpy)(HL1)(ClO₄)].1,5 $\rm H_2O$. titulação espectrofotométrica indicou forte interação com DNA, com constante de afinidade 4,52 \times 10 $^{\rm 5}\,\rm M^{\rm -1}$. Estudos complementares estão em andamento para possibilitar obter a relação estrutural do pó (1) e dos monocristais. Espera-se ainda verificar a citotoxicidade do complexo em células tumorais e não tumorais.

Agradecimentos

Agradeço ao Centro Federal de Educação Tecnológica de Minas Gerais (CEFET-MG) pela estrutura e suporte técnico e a Fundação de Amparo à Pesquisa do Estado de Minas Gerais (FAPEMIG) pelo financiamento.

Referências

- 1. P. Yates; D. C. Cañon; M. R. T. McConigley; M. Aranda; I. F. Charalambous; C. C. Eicher; J. A. Tishelman, *Eur. J. Oncol. Nurs.* **2021**, *50*, 101891.
- B. Rosenberg; L. VanCamp; J. Trosko; V. Mousour, Nature 1969, 222, 385–386.
- 3. E. Wiltshaw, Plat. Met. Rev. 1979, 23, 90-98.
- 4. D. Denoyer; S. Masaldan; S. La Fontaine; M. A. Cater, *Metallomics* **2015**, *7*, 1459–1476.
- 5. Í. P. de Souza; F. J. S. Almeida; M. N. A. Ribeiro; R. F. dos Santos, *J. Inorg. Biochem.* **2023**, *241*, 112121.
- 6. Í. P. de Souza; F. J. S. Almeida; M. N. A. Ribeiro; R. F. dos Santos, *Inorganics* **2023**, *11*, 445.
- 7. J. P. Shrestha; B. Bhattarai; H. Cho; J. Yoo, *Eur. J. Med. Chem.* **2014**, *77*, 96–102.
- 8. W. J. Geary, Coord. Chem. Rev. 1971, 7, 81–122.